

## • 化学成分 •

## 生姜中1个新的薄荷烷型单萜

张晓娟<sup>1</sup>, 宋志敏<sup>1</sup>, 王彦志<sup>1,2\*</sup>, 李曼倩<sup>1</sup>, 胡雪雨<sup>1</sup>, 刘煜飞<sup>1</sup>, 冯卫生<sup>1,2\*</sup>

1. 河南中医药大学药学院, 河南 郑州 450046

2. 呼吸疾病中医药防治省部共建协同创新中心, 河南 郑州 450046

**摘要:** 目的 对生姜 *Zingiberis Rhizoma Recens* 的丙酮溶解部位进行化学成分研究。方法 综合应用多种色谱技术进行分离纯化, 通过各种现代谱学技术对化合物进行结构鉴定。结果 从生姜水部位的丙酮溶解物中, 分离得到8个化合物。分别鉴定为 (1S,2R,4R)-1-甲基-1,2-二羟基-4-(2-羟基异丙基)-环己烷 (**1**)、脱氢松香酸 (**2**)、staphylionoside D (**3**)、12 $\alpha$ -hydroxyabiet-7,13-abietadien-18-oic acid (**4**)、sachaloside VII (**5**)、1-(羟甲基)-5,5-二甲基双环[3.1.1]庚-2-烯-4-醇 (**6**)、(E)-1,6,7-三羟基-3,7-二甲基-2-辛烯 (**7**)、(2E,6E)-8- $\beta$ -D-glucopyranosyloxy-2,6-dimethyl-2,6-octadienoic acid (**8**)。结论 化合物**1**为新化合物, 命名为姜萜A, 化合物**2~5**首次从生姜中分离得到。

**关键词:** 生姜; 单萜; 二萜; (1S,2R,4R)-1-甲基-1,2-二羟基-4-(2-羟基异丙基)-环己烷; 姜萜A; 脱氢松香酸

**中图分类号:** R284.1      **文献标志码:** A      **文章编号:** 0253-2670(2021)22-6775-06

**DOI:** 10.7501/j.issn.0253-2670.2021.22.001

## A new menthane monoterpene from *Zingiberis Rhizoma Recens*

ZHANG Xiao-juan<sup>1</sup>, SONG Zhi-min<sup>1</sup>, WANG Yan-zhi<sup>1, 2</sup>, LI Man-qian<sup>1</sup>, HU Xue-yu<sup>1</sup>, LIU Yu-fei<sup>1</sup>, FENG Wei-sheng<sup>1, 2</sup>

1. School of Pharmacy, Henan University of Traditional Chinese Medicine, Zhengzhou 450046, China

2. Collaborative Innovation Center of Chinese Medicine for Prevention and Treatment of Respiratory Diseases Co-constructed by Henan Province & Ministry of Education, Zhengzhou 450046, China

**Abstract: Objective** To study the chemical constituents of acetone extract from Shengjiang (*Zingiberis Rhizoma Recens*).

**Methods** The chemical constituents of *Zingiberis Rhizoma Recens* were separated and purified by chromatographic methods and structurally elucidated by means of various spectroscopic techniques. **Results** A total of eight compounds were isolated from the acetone extract of *Zingiberis Rhizoma Recens*, and identified as (1S,2R,4R)-1-methyl-1,2-dihydroxy-4-(2-hydroxyisopropyl)-cyclohexane (**1**), dehydroabietic acid (**2**), staphylionoside D (**3**), 12 $\alpha$ -hydroxyabiet-7,13-abietadien-18-oic acid (**4**), sachaloside VII (**5**), 1-(hydroxymethyl)-5,5-dimethylbicyclo[3.1.1]hept-2-en-4-ol (**6**), (E)-1,6,7-trihydroxy-3,7-dimethyl-2-octene (**7**), (2E,6E)-8- $\beta$ -D-glucopyranosyloxy-2,6-dimethyl-2,6-octadienoic acid (**8**). **Conclusion** Compound **1** is a new compound, named ginger terpene A, and compounds **2~5** are isolated from *Zingiberis Rhizoma Recens* for the first time.

**Key words:** *Zingiberis Rhizoma Recens*; monoterpene; diterpene; (1S,2R,4R)-1-methyl-1,2-dihydroxy-4-(2-hydroxyisopropyl)-cyclohexane; ginger terpene A; dehydroabietic acid

生姜为姜科植物姜 *Zingiber officinale* Rosc. 的新鲜根茎, 秋、冬二季采挖, 除去须根和泥沙<sup>[1]</sup>。味辛, 性微温; 归肺、脾、胃经。具有发汗解表、温中止呕、温肺止咳的功效, 被中医誉为“呕家圣

药”。生姜的产地主要有河南、湖北和山东, 生姜的炮制品有干姜、炮姜、姜炭<sup>[2-3]</sup>。化学成分研究表明, 生姜的化学成分主要有挥发油、姜辣素、二苯基庚烷等<sup>[4-9]</sup>, 具有抗氧化、抗炎、保护心血管、降血糖、

收稿日期: 2021-04-23

基金项目: 河南省自然科学基金面上项目(212300410368); 河南省中医学科研究专项课题(20-21ZY1040)

作者简介: 张晓娟, 女, 在读硕士, 主要从事中药药效物质基础研究工作。E-mail: 846193704@qq.com

\*通信作者: 王彦志, 教授, 主要从事中药药效物质基础研究工作。E-mail: wangyz@hactcm.edu.cn

冯卫生, 教授, 主要从事中药药效物质基础研究工作。E-mail: fwsh@hactcm.edu.cn

降低胆固醇以及抗肿瘤的作用<sup>[10-11]</sup>。为充分利用我国丰富的资源,进一步寻找新的活性天然产物,本实验对生姜的化学成分进行研究,从中分离得到8个化合物,分别鉴定为(1S,2R,4R)-1-甲基-1,2-二羟基-4-(2-羟基异丙基)-环己烷[(1S,2R,4R)-1-methyl-1,2-dihydroxy-4-(2-hydroxyisopropyl)-cyclohexane, 1]、脱氢松香酸(dehydroabietic acid, 2)、staphylionoside D(3)、12 $\alpha$ -hydroxyabiet-7,13-abietadien-18-oic acid(4)、sachaloside VII(5)、1-(羟甲基)-5,5-二甲基双环[3.1.1]庚-2-烯-4-醇(1-(hydroxymethyl)-5,5-dimethyl-bicyclo[3.1.1]hept-2-en-4-ol, 6)、(E)-1,6,7-三羟基-3,7-二甲基-2-辛烯[(E)-1,6,7-trihydroxy-3,7-dimethyl-2-octene, 7]、(2E,6E)-8- $\beta$ -D-glucopyranosyloxy-2,6-dimethyl-2,6-octadienoic acid(8)。其中化合物1为新化合物,命名为姜萜A,化合物2~5首次从生姜中分离得到。

## 1 仪器与材料

TripleTOF 6600型高效液相色谱-四极杆飞行时间高分辨质谱联用仪(AB SCIEX); 1260 Infinity II高效液相色谱仪; LC3000型半制备高效相色谱仪(赛普锐思公司); Bruker AM-500MHz核磁共振谱用超导核磁共振仪(德国Bruker公司); Thermo Nicolet IS10红外光谱仪(Thermo Scientific, USA); Rudolph AP-IV型旋光仪(Rudolph, USA); Thermo EVO300紫外分光光度计(Thermo Scientific, USA); 1260 Infinity II高效液相色谱仪; RE-5210A型旋转蒸发仪(上海亚荣生化仪器厂); N-1100型旋转蒸发仪(东京理化仪器有限公司); DLSB-20/30型低温冷却液循环泵(郑州长城科工贸有限公司); TH-II型薄层加热器(上海科哲生化科技有限公司); 原子型1820C型纯水机(重庆摩尔水处理设备有限公司); Sephadex LH-20(Parmacia Biotech公司); SMB100-20/45型反相柱色谱材料RP-1(富士公司)硅胶正相色谱填料(青岛海洋化工厂); Kromasil 100-5 C<sub>18</sub>柱型分析色谱柱; 色谱纯及分析纯试剂(天津四友精细化学品有限公司)。

生姜购自云南红河,产地为云南罗平县,经河南中医药大学董诚明教授鉴定为姜科植物姜 *Z. officinale* Rosc.的新鲜根茎,标本(BS631007)保存于河南中医药大学中药化学提取分离实验室。

## 2 提取与分离

生姜(80 kg)采用组织破碎法提取后,水浴减压浓缩得总提物。加水混悬,石油醚萃取,减压浓

缩得石油醚部位;剩余药液醋酸乙酯萃取后浓缩得醋酸乙酯部位,剩余药液浓缩后加丙酮溶液,溶解液浓缩后为丙酮部位(1.5 kg)。丙酮部位加水混悬后上MCI柱,以40%、60%、80%、90%乙醇洗脱,依次得到Fr. A(1.1 kg)、Fr. B(90.8 g)、Fr. C及Fr. D。Fr. A及Fr. B加适量醇水溶解后分别上MCI柱,以水及10%、30%、50%、70%、95%乙醇进行梯度洗脱分别得到以下6个组分(Fr. A.1~A.6)及(Fr. B.1~B.6)。Fr. A.2(10.2 g)经硅胶柱(200~300目)色谱,以二氯甲烷-甲醇(100:0~0:100)为洗脱剂进行梯度洗脱,共得9段组分(Fr. A.2.1~A.2.9); Fr. A.2.3(30.0 mg)经过制备薄层色谱纯化得化合物6(3.0 mg)。Fr. A.2.5(36.7 mg)再经过半制备液相分离纯化,以甲醇-水(15:85)等度洗脱,得到化合物1(*t<sub>R</sub>*=24 min, 16 mg)。Fr. A.2.9(501.3 mg)上Sephadex LH-20柱,以甲醇为流动相洗脱,共得5段组分(Fr. A.2.9.1~A.2.9.5), Fr. A.2.9.3(112.7 mg)过硅胶柱(200~300目),以二氯甲烷-甲醇(100:0~0:100)为洗脱剂进行梯度洗脱,之后再经过半制备液相分离纯化,甲醇-水(45:55)等度洗脱,得到化合物8(*t<sub>R</sub>*=24 min, 20 mg)。Fr. A.3(18.3 g)上Sephadex LH-20柱,以甲醇为洗脱剂等度洗脱,共得2段组分(Fr. A.3.1~A.3.2)。Fr. A.3.2(7.5 g)过硅胶柱色谱,以二氯甲烷-甲醇(100:0~0:100)为洗脱剂进行梯度洗脱,共得11段组分(Fr. A.3.2.1~A.3.2.11)。Fr. A.3.2.3(302.3 mg)及Fr. A.3.2.4(242.3 mg)经薄层检识后合并为组分a上Sephadex LH-20柱,以(50%~100%甲醇为洗脱剂)梯度洗脱,共得2段组分(a.1及a.2)。a.2(226.1 mg)再经过半制备液相分离纯化,以乙腈-水(10:90)等度洗脱,得到化合物7(*t<sub>R</sub>*=15 min, 4 mg)。Fr. A.3.2.5(504.1 mg)及Fr. A.3.2.6(368.6 mg)经薄层检识后合并为组分b上Sephadex LH-20柱,以甲醇为流动相等度洗脱,共得4段组分(b.1~b.4)。b.2(110.3 mg)及b.3(122.3 mg)经薄层检识后合并为组分c过硅胶柱,以二氯甲烷-甲醇(100:0~0:100)为洗脱剂梯度洗脱,共得3段组分(c.1~c.3), c.3(53.3 mg)再经过半制备液相分离纯化,以乙腈-水(10:90)等度洗脱,得到化合物3(*t<sub>R</sub>*=33 min, 3 mg)。Fr. A.3.2.7(470.5 mg)上Sephadex LH-20柱,以甲醇为洗脱剂等度洗脱,共得4段组分(d.1~d.4)。d.1(90.8 mg)及d.2(101.3 mg)合并后为组分e

过硅胶柱色谱,以二氯甲烷-甲醇(100:0~0:100)为洗脱剂进行梯度洗脱,共得4段组分(e.1~e.4)。e.4再经过半制备液相分离纯化,以乙腈-水(10:90)等度洗脱,得到化合物5( $t_R=23\text{ min}$ , 5 mg)。

Fr. A.4(25.6 g)过ODS柱,以10%、30%、50%、70%、95%水进行梯度洗脱分别得到以下5个组分(Fr. A.4.1~A.4.5)。Fr. A.4.1(4.7 g)过硅胶柱色谱,以二氯甲烷-甲醇(100:0~0:100)为洗脱剂进行梯度洗脱,共得8段组分(Fr. A.4.1.1~A.4.1.8)。Fr. A.4.1.2(467.4 mg)及Fr. A.4.1.3(322.6 mg)经薄层检识后合并后为组分f上 Sephadex LH-20柱,以甲醇为流动相等度洗脱,共得3段组分(f.1~f.3)。Fr. A.4.1.7(315.9 mg)上 Sephadex LH-20柱,以甲醇为流动相等度洗脱,共得4段组分(g.1~g.4)。g.3(87.8 mg)过硅胶柱色谱后再经过半制备液相分离纯化,以甲醇-水(63:37)等度洗脱,得到化合物4( $t_R=28\text{ min}$ , 30 mg)。Fr. B.5(10.1 g)过硅胶柱色谱,以石油醚/醋酸乙酯(100:0~0:100)为洗脱剂梯度洗脱,共得6段组分(Fr. B.5.1~B.5.6)。Fr. B.5.2(90.3 mg)再经过半制备液相分离纯化,以甲醇-水(85:15)等度洗脱,得到化合物2( $t_R=26\text{ min}$ , 17 mg)。

### 3 结构鉴定

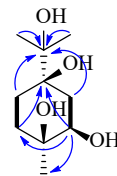
化合物1:白色粉末,易溶于甲醇。 $[\alpha]_D^{20}-11.7^\circ$ ( $c 0.3$ , MeOH); HR-ESI-MS显示准分子离子峰[M+Na]<sup>+</sup>  $m/z$  227.125 4(计算值 227.125 4),提示该化合物分子式为C<sub>10</sub>H<sub>20</sub>O<sub>4</sub>,不饱和度为1。UV光谱显示其在202 nm处有最大吸收;IR光谱显示该化合物含有-OH的吸收峰(3418 cm<sup>-1</sup>)及-CH<sub>3</sub>的伸缩振动吸收峰(2971 cm<sup>-1</sup>及2869 cm<sup>-1</sup>)。在<sup>1</sup>H-NMR(500 MHz, CD<sub>3</sub>OD)谱(表1)中,  $\delta_H$  3.65(1H, ddd,  $J=9.9, 3.7, 1.6\text{ Hz}$ , H-2)为次甲基氢信号;  $\delta_H$  2.45, 1.41(2H, ddd,  $J=13.7, 10.0, 3.9\text{ Hz}$ , H-3),  $\delta_H$  2.05, 1.59(2H, dd,  $J=14.4, 6.3\text{ Hz}$ , H-6),  $\delta_H$  1.91, 1.59(2H, dd,  $J=14.4, 6.3\text{ Hz}$ , H-5)为3个亚甲基氢信号,且均与手性碳相连;  $\delta_H$  1.24(3H, s, H-10), 1.15(3H, s, H-9), 1.03(3H, s, H-7)为3个甲基氢信号。根据<sup>13</sup>C-NMR(125 MHz, CD<sub>3</sub>OD)共发现10个碳信号,数据如下: $\delta_C$  78.0(C-8), 74.1(C-1), 70.8(C-4)为季碳碳信号,由于化学位移偏低场推测与强吸电子基相连;  $\delta_C$  72.9(C-2)为次甲基碳信号且与吸电子基相连;  $\delta_C$  42.3(C-3), 30.3(C-5), 28.5(C-6)为亚甲基碳信号;  $\delta_C$  25.4(C-9), 25.2(C-10), 23.8(C-7)为3个甲基碳

表1 化合物1的氢谱和碳谱数据

Table 1 <sup>1</sup>H and <sup>13</sup>C NMR spectral data of compound 1 (500/125 MHz, CD<sub>3</sub>OD)

碳位	$\delta_C$	$\delta_H$
1	74.1	
2	72.9	3.65 (1H, ddd, $J=9.9, 3.7, 1.6\text{ Hz}$ )
3a	42.3	2.45 (1H, ddd, $J=13.7, 10.0, 3.9\text{ Hz}$ )
3b		1.41 (1H, m)
4	70.8	
5a	30.3	1.91 (1H, m)
5b		1.59 (1H, dd, $J=14.4, 6.3\text{ Hz}$ )
6a	28.5	2.05 (1H, m)
6b		1.59 (1H, dd, $J=14.4, 6.3\text{ Hz}$ )
7	23.8	1.03 (3H, s)
8	78.0	
9	25.4	1.15 (3H, s)
10	25.2	1.24 (3H, s)

信号。分析HSQC谱,进一步确定C-H的数据归属。结合HMBC谱(图1),  $\delta_H$  3.65(H-2)与 $\delta_C$  23.8(C-7), 28.5(C-6), 42.3(C-3), 70.8(C-4), 74.1(C-1)相关; $\delta_H$  2.45, 1.41(H-3)与 $\delta_C$  30.3(C-5), 70.8(C-4), 72.9(C-2), 74.1(C-1), 78.0(C-8)相关; $\delta_H$  2.05, 1.59(H-6)与 $\delta_C$  30.3(C-5), 72.9(C-2), 70.8(C-4), 74.1(C-1)相关; $\delta_H$  1.91, 1.59(H-5)与 $\delta_C$  28.5(C-6), 42.3(C-3), 70.8(C-4), 74.1(C-1), 78.0(C-8)相关;并依据<sup>1</sup>H-<sup>1</sup>H COSY谱, $\delta_H$  3.65(H-2)与 $\delta_H$  2.45, 1.41(H-3)相关; $\delta_H$  1.91, 1.59(H-5)与 $\delta_H$  2.05, 1.59(H-6)相关可推断出此片段为六元环结构,并确定C-1, C-2, C-3, C-4, C-5, C-6的连接次序;根据 $\delta_H$  1.24(H-10)与 $\delta_C$  25.4(C-9), 78.0(C-8), 70.8(C-4)相关; $\delta_H$  1.15(H-9)与 $\delta_C$  25.2(C-10), 78.0(C-8), 70.8(C-4)相关; $\delta_H$  1.03(H-7)与 $\delta_C$  28.5(C-6), 72.9(C-2), 74.1(C-1)相关可确定含氧桥环结构,分别位于C-4位和C-1位上。此化合物与文献报道<sup>[12]</sup>的类似,由此确定此化合物的平面结构。化合物1的相

图1 化合物1的<sup>1</sup>H-<sup>1</sup>H COSY(—)和HMBC(→)相关信号Fig. 1 Key <sup>1</sup>H-<sup>1</sup>H COSY(—) and HMBC(→) correlations of compound 1

对构型是通过分析其偶合常数和 NOESY 光谱确定的,  $J_{H(ax)-3a/H(ax)-2}$  (10.0 Hz) 表明 H-3a 及 H-2 为直立键, 而 H-3b 为平伏键;  $\delta_H$  3.65(H-2) 与  $\delta_H$  1.03 (H-7) 有远程相关, 说明 H-2 与 7-CH<sub>3</sub> 处于顺式, 指定为 H-2 和 7-CH<sub>3</sub> 为  $\alpha$ -取向, 则 1-OH 为  $\beta$ -取向; 同时根据 NOESY 谱发现  $\delta_H$  3.65 (H-2) 与  $\delta_H$  1.15 (H-9) 有远程相关, 说明 4-羟基异丙基为  $\alpha$ -取向, 4-OH 为  $\beta$ -取向。上述分析得到了 NOESY 光谱中 H-2 与 H-7, H-9 和 2-OH 与 1-OH, 4-OH 有相关信号的证明(图 2), 由此可推断其相对构型为 1R,2S,4S (**1a**) 或 1S,2R,4R (**1b**)。为了确定化合物 **1** 的绝对构型, 采取量子化学计算的方法[B3LYP / 6-311G (2d, 2p), MeOH]计算了 **1a** 及 **1b** 在 589 nm 下的比旋光度, 结果表明 **1a** 及 **1b** 的比旋光度分别为 30.94° 和 -29.62°, 其中化合物 **1b** 的比旋光度与实验值 (-11.7°) 吻合较好, 确定化合物 **1** 的构型为 1S,2R,4R, 故鉴定其结构为 (1S,2R,4R)-1-甲基-1,2-二羟基-4-(2-羟基异丙基)-环己烷。命名为姜萜 A, 结构见图 3。

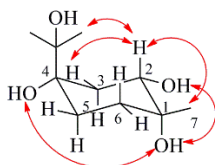


图 2 化合物 1 的关键 NOESY 相关信号

Fig. 2 Key NOESY correlations of compound 1

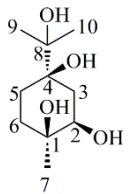


图 3 化合物 1 的结构

Fig. 3 Chemical structure of compound 1

**化合物 2:** 无色油状物。ESI-MS  $m/z$ : 323 [M+Na]<sup>+</sup>, 不饱和度为 7, 分子式为 C<sub>20</sub>H<sub>28</sub>O<sub>2</sub>。<sup>1</sup>H-NMR (500 MHz, CDCl<sub>3</sub>)  $\delta$ : 7.15 (1H, d,  $J$  = 8.2 Hz, H-11), 6.98 (1H, dd,  $J$  = 8.2, 1.6 Hz, H-12), 6.87 (1H, d,  $J$  = 1.6 Hz, H-14), 2.23 (1H, dd,  $J$  = 12.4, 1.8 Hz, H-5), 2.81 (1H, dd,  $J$  = 13.8, 6.9 Hz, H-15), 2.29 (1H, m, H-1a), 1.83 (1H, m, H-6a), 1.78 (2H, m, H-2a, 3a), 1.71 (2H, m, H-2b, 3b), 1.51 (2H, m, H-1b, 6b), 2.90 (2H, m, H-7), 1.20 (6H, s, H-16, 17), 1.27 (3H, s,

H-19), 1.21 (3H, s, H-20); <sup>13</sup>C-NMR (125 MHz, CDCl<sub>3</sub>)  $\delta$ : 124.1 (C-11), 123.9 (C-12), 145.7 (C-13), 126.9 (C-14), 134.7 (C-8), 146.7 (C-9), 47.4 (C-4), 36.7 (C-10), 44.6 (C-5), 33.4 (C-15), 37.9 (C-1), 36.8 (C-3), 30.0 (C-7), 21.7 (C-6), 18.5 (C-2), 25.1 (C-20), 24.0 (C-16, 17), 16.2 (C-19)。以上数据与文献报道基本一致<sup>[13-14]</sup>, 故鉴定化合物 **2** 为脱氢松香酸。

**化合物 3:** 黄色固体。ESI-MS  $m/z$ : 409 [M+Na]<sup>+</sup>, 分子式为 C<sub>19</sub>H<sub>30</sub>O<sub>8</sub>, 不饱和度为 5。<sup>1</sup>H-NMR (500 MHz, CD<sub>3</sub>OD)  $\delta$ : 5.83 (1H, s, H-8), 4.35 (1H, ddd,  $J$  = 11.4, 7.4, 4.1 Hz, H-3), 2.37 (1H, ddd,  $J$  = 13.1, 3.8, 2.0 Hz, H-2a), 2.09 (1H, ddd,  $J$  = 12.7, 4.0, 2.0 Hz, H-2b), 1.46 (2H, m, H-4), 2.19 (3H, s, H-10), 1.39 (3H, s, H-11), 1.38 (3H, s, H-12), 1.16 (3H, s, H-13), 4.44 (1H, d,  $J$  = 7.8 Hz, H-1'), 3.15 (1H, dd,  $J$  = 8.9, 7.9 Hz, H-2'), 3.88 (1H, dd,  $J$  = 12.2, 1.7 Hz, H-3'), 3.35 (2H, m, H-4', 6'a), 3.30 (1H, m, H-5'), 3.69 (1H, dd,  $J$  = 11.9, 5.0 Hz, H-6'b); <sup>13</sup>C-NMR (125 MHz, CD<sub>3</sub>OD)  $\delta$ : 211.5 (C-9), 101.2 (C-8), 120.1 (C-6), 200.8 (C-7), 37.0 (C-1), 72.5 (C-3), 72.4 (C-5), 48.1 (C-4), 46.6 (C-2), 26.5 (C-10), 29.4 (C-11), 32.3 (C-12), 30.8 (C-13), 102.7 (C-1'), 75.1 (C-2'), 78.1 (C-3'), 71.6 (C-4'), 77.9 (C-5'), 62.7 (C-6')。以上数据与文献报道基本一致<sup>[15]</sup>, 确定化合物 **3** 为 staphylinoside D。

**化合物 4:** 黄色固体。ESI-MS  $m/z$ : 341 [M+Na]<sup>+</sup>, 分子式为 C<sub>20</sub>H<sub>30</sub>O<sub>3</sub>, 不饱和度为 6。<sup>1</sup>H-NMR (500 MHz, CD<sub>3</sub>OD)  $\delta$ : 5.49 (1H, m, H-7), 5.84 (1H, s, H-14), 4.22 (1H, t,  $J$  = 2.8 Hz, H-12), 2.39 (1H, m, H-15), 2.36 (1H, m, H-9), 2.13 (2H, m, H-5, 6a), 1.85 (2H, m, H-6b, 11a), 1.84 (2H, m, H-3), 1.64 (2H, m, H-2), 1.59 (1H, m, H-11b), 1.29 (1H, dd,  $J$  = 13.3, 3.3 Hz, H-1a), 1.21 (1H, dd,  $J$  = 13.3, 3.9 Hz, H-1b), 1.05 (3H, d,  $J$  = 6.9 Hz, H-16), 1.09 (3H, d,  $J$  = 6.9 Hz, H-17), 1.24 (3H, s, H-19), 0.82 (3H, s, H-20); <sup>13</sup>C-NMR (125 MHz, CD<sub>3</sub>OD)  $\delta$ : 144.8 (C-13), 136.2 (C-8), 126.7 (C-14), 124.5 (C-7), 182.4 (C-18), 47.3 (C-4), 35.1 (C-10), 66.8 (C-12), 46.5 (C-5), 44.9 (C-9), 39.4 (C-1), 38.6 (C-3), 33.6 (C-15), 32.0 (C-11), 26.9 (C-6), 22.7 (C-16), 22.0 (C-17), 19.1 (C-2), 17.4 (C-19), 14.8 (C-20)。以上数据与文献报道基本一致<sup>[16]</sup>, 确定化合物 **4** 为 12 $\alpha$ -hydroxyabiet-7,13-abietadien-18-oic acid。

**化合物5:** 无色油状物。ESI-MS  $m/z$ : 373 [M+Na]<sup>+</sup>, 分子式为 C<sub>16</sub>H<sub>30</sub>O<sub>8</sub>, 不饱和度为2。<sup>1</sup>H-NMR (500 MHz, CD<sub>3</sub>OD)  $\delta$ : 5.42 (1H, t,  $J$ =6.5 Hz, H-2), 4.34 (1H, m, H-1a), 4.25 (1H, m, H-1b), 3.24 (1H, m, H-6), 2.30 (1H, ddd,  $J$ =14.1, 9.9, 4.6, H-4a), 2.08 (1H, m, H-4b), 1.75 (1H, m, H-5a), 1.70 (3H, s, H-10), 1.38 (1H, m, H-5b), 1.16 (3H, s, H-9), 1.12 (3H, s, H-8), 4.24 (1H, d,  $J$ =7.8 Hz, H-1'), 3.16 (1H, m, H-2'), 3.86 (1H, dd,  $J$ =11.9, 2.1 Hz, H-3'), 3.24 (2H, m, H-4', 5'), 3.65 (1H, dd,  $J$ =12.0, 5.6 Hz, H-6'a), 3.33 (1H, m, H-6'b); <sup>13</sup>C-NMR (125 MHz, CD<sub>3</sub>OD)  $\delta$ : 142.0 (C-3), 121.7 (C-2), 73.8 (C-7), 78.9 (C-6), 66.4 (C-1), 37.7 (C-4), 30.4 (C-5), 25.8 (C-9), 24.8 (C-8), 16.6 (C-10), 102.8 (C-1'), 75.1 (C-2'), 78.2 (C-3'), 71.7 (C-4'), 78.0 (C-5'), 62.8 (C-6')。以上数据与文献报道基本一致<sup>[17]</sup>, 确定化合物5为 sachaloside VII。

**化合物6:** 黄色油状物。ESI-MS  $m/z$ : 191 [M+Na]<sup>+</sup>, 分子式为 C<sub>10</sub>H<sub>16</sub>O<sub>2</sub>, 不饱和度为3。<sup>1</sup>H-NMR (500 MHz, CD<sub>3</sub>OD)  $\delta$ : 5.57 (1H, d,  $J$ =1.5 Hz, H-2), 3.91 (2H, d,  $J$ =1.5 Hz, H-8), 2.38 (1H, dd,  $J$ =8.1, 6.7 Hz, H-7a), 1.51 (1H, d,  $J$ =8.1 Hz, H-7b), 2.24 (2H, s, H-3), 2.04 (1H, dd,  $J$ =6.7, 1.9 Hz, H-6), 1.22 (3H, s, H-10), 0.84 (3H, s, H-9); <sup>13</sup>C-NMR (125 MHz, CD<sub>3</sub>OD)  $\delta$ : 147.0 (C-1), 119.4 (C-2), 74.4 (C-4), 38.4 (C-6), 63.9 (C-8), 39.7 (C-7), 37.7 (C-3), 44.1 (C-5), 20.3 (C-10), 17.7 (C-9)。以上数据与文献报道基本一致<sup>[18]</sup>, 故确定化合物6为1-(羟甲基)-5,5-二甲基双环[3.1.1]庚-2-烯-4-醇。

**化合物7:** 淡黄色油状物。ESI-MS  $m/z$ : 211 [M+Na]<sup>+</sup>, 分子式 C<sub>10</sub>H<sub>20</sub>O<sub>3</sub>, 不饱和度1。<sup>1</sup>H-NMR (500 MHz, CD<sub>3</sub>OD)  $\delta$ : 5.40 (1H, m, H-2), 4.08 (2H, d,  $J$ =6.8 Hz, H-1), 3.23 (1H, dd,  $J$ =10.6, 1.5 Hz, H-6), 2.28 (1H, m, H-4a), 2.05 (1H, m, H-4b), 1.75 (1H, m, H-5a), 1.67 (3H, s, H-8), 1.37 (1H, m, H-5b), 1.16 (3H, s, H-9), 1.12 (3H, s, H-10); <sup>13</sup>C-NMR (125 MHz, CD<sub>3</sub>OD)  $\delta$ : 125.0 (C-2), 139.7 (C-3), 59.4 (C-1), 78.9 (C-6), 73.7 (C-7), 37.8 (C-4), 30.4 (C-5), 16.3 (C-8), 25.8 (C-9), 24.8 (C-10)。以上数据与文献报道一致<sup>[19]</sup>, 确定化合物7为(E)-1,6,7-三羟基-3,7-二甲基-2-辛烯。

**化合物8:** 无色油状物。ESI-MS  $m/z$ : 369 [M+Na]<sup>+</sup>, 分子式为 C<sub>16</sub>H<sub>26</sub>O<sub>8</sub>, 不饱和度为4。<sup>1</sup>H-NMR (500 MHz, CD<sub>3</sub>OD)  $\delta$ : 6.59 (1H, dd,  $J$ =7.3, 6.2 Hz,

H-3), 5.32 (1H, t,  $J$ =6.3 Hz, H-7), 4.25 (1H, m, H-8a), 4.18 (1H, m, H-8b), 4.17 (1H, m, H-1'), 3.25 (1H, t,  $J$ =8.8 Hz, H-2'), 3.17 (1H, m, H-3'), 3.07 (1H, m, H-4'), 3.13 (1H, m, H-5'), 3.57 (1H, dd,  $J$ =11.9, 5.6 Hz, H-6'a), 3.77 (1H, d,  $J$ =11.9, 2.2 Hz, H-6'b), 2.24 (2H, m, H-4), 2.09 (2H, t,  $J$ =7.4 Hz, H-5), 1.71 (3H, s, H-9), 1.62 (3H, s, H-10); <sup>13</sup>C-NMR (125 MHz, CD<sub>3</sub>OD)  $\delta$ : 174.1 (C-1), 130.6 (C-2), 141.6 (C-3), 140.9 (C-6), 122.3 (C-7), 27.9 (C-5), 39.3 (C-4), 66.2 (C-8), 12.8 (C-9), 16.4 (C-10), 102.7 (C-1'), 75.1 (C-2'), 78.1(C-3'), 71.7 (C-4'), 78.0 (C-5'), 62.8(C-6')。以上数据与文献报道一致<sup>[20]</sup>, 故鉴定化合物8为(2E,6Z)-8-β-D-glucopyranosyloxy-2,6-dimethyl-2,6-octadienoic acid。

**利益冲突** 所有作者均声明不存在利益冲突

#### 参考文献

- 中国药典 [S]. 四部. 2015: 13.
- 佳益申. 生姜、干姜和炮姜的应用区别 [J]. 农村新技术, 2017(12): 62.
- 渠柳, 杨淑, 马开, 等. 基于脾胃虚寒模型的生姜、干姜、炮姜姜辣素部位组织分布与归经的相关性研究 [J]. 世界中医药, 2020, 15(21): 3199-3222.
- 刘琳琪, 刘玉环, 赵晨曦, 等. 不同产地生姜主要活性成分的比较分析 [J]. 天然产物研究与开发, 2015, 27(6): 1016-1021.
- 刘畅, 孔令钰. 生姜与大枣配伍对生姜中3种姜酚成分含量的影响 [J]. 中国中医药科技, 2020, 27(2): 222-223.
- 何文珊, 严玉霞, 郭宝江. 生姜的化学成分及生物活性研究概况 [J]. 中药材, 2001, 24(5): 376-379.
- 孙凤娇, 李振麟, 钱士辉, 等. 干姜化学成分研究 [J]. 中国野生植物资源, 2016, 35(5): 20-24.
- 雷弘毅, 陈小明. 香姜中6-姜辣素的提取工艺研究 [J]. 湖南科技学院学报, 2015, 36(10): 46-48.
- 张杰, 常义生, 曾铖, 等. 生姜提取物中化学成分研究 [J]. 安徽农业科学, 2015, 43(25): 287-288.
- 李计萍, 王跃生, 马华, 等. 干姜与生姜主要化学成分的比较研究 [J]. 中国中药杂志, 2001, 26(11): 748-751.
- 杨楠, 王静, 余友恒, 等. 生姜活性提取物对铜绿假单胞菌的抑制机理研究 [J]. 安徽农业科学, 2017, 45(20): 95-97.
- Carman R M, Rayner A C. 2- $\alpha$ , 4-dihydroxy-1, 8-cineole. A new possum urinary metabolite [J]. Aust J Chem, 1994, 47(11): 2087.
- Imhoff J F, Sun M S, Wiese J, et al. First evidence of dehydroabietic acid production by a marine phototrophic

- gammaproteobacterium, the purple sulfur bacterium *Allochromatium vinosum* MT86 [J]. *Mar Drugs*, 2018, 16(8): E270.
- [14] Ayer W A, MacAulay J B. Metabolites of the honey mushroom, *Armillariamellea* [J]. *Can J Chem*, 1987, 65(1): 7-14.
- [15] Wang Y S, Huang R, Yang J H. Chemical constituents of *Litsea szemaois* [J]. *Chem Nat Compd*, 2011, 47(1): 122-123.
- [16] Koutsaviti A, Ioannou E, Couladis M, et al. <sup>1</sup>H and <sup>13</sup>C NMR spectral assignments of abietane diterpenes from *Pinus heldreichii* and *Pinus nigra* subsp. *nigra* [J]. *Magn Reson Chem*, 2017, 55(8): 772-778.
- [17] Li X Z, Nakamura S, Matsuda H, et al. Bioactive constituents from Chinese natural medicines. XXIX. monoterpenes and monoterpenes glycosides from the roots of *Rhodiola sachalinensis* [J]. *Chem Pharm Bull*, 2008, 56(4): 612-615.
- [18] 郭燕, 王彦志, 徐志贫, 等. 姜皮中两个新的单萜类化合物 [J]. 药学学报, 2020, 55(3): 484-488.
- [19] Vanlint M J, G A, Ruijter E, et al. Enantioselective biohydrolysis of geranyl - derived racepoxides: A chemoenzymatic route to transfuranoïd linalool oxide [J]. *Adv Synth Catal*, 2019, 361(4), 813-825.
- [20] Wang S J, Pei Y H, Hui M H, et al. A new monoterpene glucoside from the leaves of *Betula platyphylla* suk. [J]. *Chin Chem Lett*, 2001, 12(4): 343-344.

[责任编辑 王文倩]